

ارزیابی غیرمخرب کیفیت اتصالات چسبی در ورق‌ها به کمک امواج ورقی

فرهنگ هنرور (دانشیار)

سید محمد حسن روحانی (کارشناس ارشد) دانشکده هندسی مکانیک، دانشگاه صنعتی خواجه نصیرالدین طوسی

در این نوشتار با بهره‌گیری از امواج ورقی^۱، که به آن‌ها امواج لب^۲ نیز گفته می‌شود، به ارزیابی و تعیین کیفیت اتصالات چسبی می‌پردازیم. ابتدا معادلات لازم برای یافتن منحنی‌های پراکندگی راوه و سپس با استفاده از این منحنی‌ها مدهای مناسب برای انجام بازرگانی انتخاب می‌شود. مناسب‌ترین مدد برای انجام بازرگانی اولین مد مقترن امواج ورقی یعنی S_c است. سپس نمونه‌هایی از اتصالات چسبی سالم و عیوب با استفاده از ورق‌های آلومینیوم ساخته و با استفاده از دلایل فراصوتی زاویه متفقین، که به عنوان فرسنده و گیرنده عمل می‌کنند، کیفیت این اتصالات مورد بررسی قرار می‌گیرد. نتایج حاصله حاکی از آن است که امواج ورقی به خوبی قادرند عیوب موجود در اتصالات چسبی را تشخیص داده و اندازه آن‌ها را معین کنند.

واژگان کلیدی: ارزیابی غیرمخرب، اتصالات چسبی، امواج لمب، امواج ورقی، منحنی، پاششی، مد، S .

مقدمة

اماکن پذیر نبود. میندلین (۱۹۶۰) از اویلین کسانی بود که توانست این معالات را حل کند.^[۱] در اواخر دهه ۱۹۸۰ و اوایل ۱۹۹۰ تحقیقات بروی استفاده از امواج ورقی در مواد کامپوزیتی آغاز شد. در مؤسسه‌ی ناسا (NASA) تحقیقاتی برای تشخیص جدایش لایه‌ها در کامپوزیت‌ها انجام شد.^[۲] فعالیت مشابهی نیز در گروه تحقیقات سنجش و پداوند^[۳] انجام گرفت.^[۴] به نظر می‌رسد موفق ترین مطالعه تاکنون برای استفاده از امواج ورقی در تشخیص عیوب، توسط دو گروه مجزا در امریکا و کالج لندن انجام شده است. در نیمه‌ی اول دهه ۱۹۹۰ گروه کاولی^[۵] بر روی بهینه‌سازی تولید امواج ورقی هدایت شده با استفاده از مواد پیزوالکتریک پلیمری، موسوم به PVDF، کار کردند.^[۶] گروه دوم، هوانوردانی بودند که بر روی موضوعاتی مثل چیدمان حسن‌گرها و پردازش سیگنال کار می‌کردند.^[۷] در سال ۱۹۹۹ برای آزمون جوش با امواج لمب، از فرستنده‌ی لیزر و گیرنده‌ی آکوستیکی الکترومغناطیسی^[۸] استفاده شد.^[۹] در سال ۲۰۰۰ نیز با استفاده از پرور تماسی و به کمک سیستم تولید تک فرکانس^[۱۰] و مدهای A و S^[۱۱] به طور مجزا و بدون تداخل تولید شدند و عیوب مصنوعی در رق فولادی به ضخامت ۲/۴ میلی‌متر تشخیص داده شد.^[۱۲] در سال ۱۹۹۹ محققین در دانشگاه شیزروکا^[۱۳] ژاپن تلاش کردند تا با لیزر فراصوتی موج لمب تولید کرده و ضخامت ورق فولاد ضدزنگ و خواص کشسان آن را به دست آورند.^[۱۴] در سال ۲۰۰۲ نیز کاری مشابه این تحقیق بر روی مسن انجام شد.^[۱۵] پس از آن در سال ۲۰۰۳، محققین دانشگاه شیزروکا کوشیدند تا با تولید یک مد خاص موج لمب، به شیوه‌ی مناسب عیوب را تشخیص دهند.^[۱۶] آنان برای تولید و ارسال موج از پرور تماسی، و برای دریافت موج از پرور غیرتماسی با ماده‌ی

رشد علم و پیشرفت فناوری باعث پیچیده شدن صنایع و سازه ها شده است. این پیچیدگی بر ارزش مندی آن ها از نقطه نظر کارایی و ارزش علمی افزوده است. از سوی دیگر، خرابی سازه های افزون بر هزینه های خود سازه با هزینه های جانبه دیگری نیز همراه است که گاه بسیار بیشتر و بالاتر از هزینه مسنتیم سازه است. متخصصان می کوشند تا حد ممکن از بروز چنین حادثی جلوگیری کنند. یکی از راه های جلوگیری از این حوادث، کنترل مدام سازه ها و آگاهی از وجود عیوب ریز -- مثل ترک -- و ممانعت از ایجاد آن پیش از شکست است. امواج فرماحتی ورقی (لمب) یکی از بهترین ابزارها برای ارزیابی غیرمخرب سازه های نازک (سازه های ورقی) هستند.

خصوصیت ویهی موج لمب، انتشار آن در سطح وسیع با میرایی کم است. امواج لمب در مدهای متقارن (S) و نامتقارن (A) منتشر می‌شوند؛ هریک از این مدها نیز حالات مختلفی دارد. خصوصیت دیگر امواج لمب وابستگی سرعت انتشار آن‌ها به فرکانس و ضخامت ورق است.

نخستین تحقیق درخصوص امواج ورقی، و استفاده از آن‌ها به عنوان ابزاری برای تشخیص عیب، در سال ۱۹۶۱ و از شرکت جنرال الکتریک بود.^[۱] این تحقیق بررسی تحلیلی منحنی پاشش الومینیوم و زیرکونیوم را شامل می‌شد، و نیز به بحث درباره اهمیت مدهای مختلف امواج ورقی — به عنوان ابزار عیب‌یابی — می‌پرداخت. حل معادلات مشخصه‌ی امواج ورقی (لب) تا زمان اختراق رایانه‌های دیجیتالی

و براساس نظریه‌ی کشسانی، تشن‌ها در حالت کرنش صفحه‌یی مطابق روابط ۳ هستند:^[۱۶]

$$\begin{aligned}\sigma_{zz} &= \mu\left(\frac{\partial u_z}{\partial x} + \frac{\partial u_x}{\partial z}\right) = \mu\left(\frac{\partial^* \phi}{\partial x \partial z} - \frac{\partial^* \psi}{\partial x^*} + \frac{\partial^* \psi}{\partial z^*}\right) \\ \sigma_{zz} &= \lambda\left(\frac{\partial u_x}{\partial x} + \frac{\partial u_z}{\partial z}\right) + 2\mu \frac{\partial u_z}{\partial z} \\ &= \lambda\left(\frac{\partial^* \phi}{\partial x^*} + \frac{\partial^* \phi}{\partial z^*}\right) + 2\mu\left(\frac{\partial^* \phi}{\partial z^*} - \frac{\partial^* \psi}{\partial x \partial z}\right)\end{aligned}\quad (3)$$

از طرفی می‌دانیم معادلات حاکم بر امواج طولی و عرضی دو بعدی به صورت رابطه‌های ۴ و ۵ هستند:

$$\frac{\partial^* \phi}{\partial x^*} + \frac{\partial^* \phi}{\partial z^*} = \frac{1}{c_L^*} \frac{\partial^* \phi}{\partial t^*} \quad \text{معادله امواج طولی} \quad (4)$$

$$\frac{\partial^* \psi}{\partial x^*} + \frac{\partial^* \psi}{\partial z^*} = \frac{1}{c_T^*} \frac{\partial^* \psi}{\partial t^*} \quad \text{معادله امواج عرضی} \quad (5)$$

با حل معادلات فوق و اعمال شرایط مرزی، معادلات حاکم بر امواج لمب به دست می‌آید. این معادلات به دو بخش متقارن و نامتقارن تقسیم می‌شوند:

$$\frac{\tan(qh)}{\tan(ph)} = \frac{4k^* pq}{(q^* - k^*)^2} \quad \text{متقارن} \quad (6)$$

$$\frac{\tan(qh)}{\tan(ph)} = -\frac{(q^* - k^*)^2}{4k^* pq} \quad \text{نامتقارن} \quad (7)$$

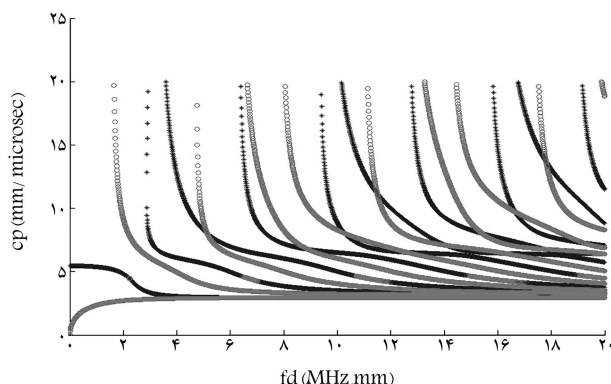
که در آن‌ها p و q عبارت‌اند از:

$$p^* = \frac{\omega^*}{c_L^*} - k^* \quad \text{and} \quad q^* = \frac{\omega^*}{c_T^*} - k^* \quad (8)$$

رسم منحنی پاشش

تغییرات سرعت انتشار امواج لمب بر حسب فرکانس بی بعد شده (حاصل ضرب فرکانس در ضخامت) به صورت منحنی‌های پاشش رسم می‌شود. برای رسم این منحنی‌ها معادلات ۶ و ۷ را با روش عددی حل می‌کنیم. این منحنی‌ها برای دو حالت متقارن و نامتقارن به‌طور جداگانه محاسبه شده و رسم می‌شوند.

در این تحقیق پس از اندازه‌گیری سرعت امواج طولی و عرضی در ورق مورد آزمایش به‌کمک یک برنامه‌ی رایانه‌یی منحنی‌های پاشش مطابق شکل ۱ رسم شده‌اند. برای رسم این منحنی‌ها مراحل زیر طی شده است:



شکل ۱. منحنی‌های پاشش سرعت فاز امواج لمب بر حسب فرکانس بی بعد در ورق آلومینیوم.

واسطه‌ها استفاده کردند. در سال ۲۰۰۵ به‌کمک امواج لمب که با روش غوطه‌وری (غیرتیماسی) تولید می‌شدند، عیوب اتصالات چسبی از نوع لبه‌های روی‌هم افتاده^۸ بررسی، و نتایج با نمونه‌های مدل‌سازی شده مقایسه شد.^[۱۷] این نتایج تحلیلی با آزمایشات تطابق خوبی نشان دادند. همچنین در این تحقیق تلاش شد تا ابعاد عیوب نیز تخمین زده شود. در سال ۲۰۰۶ با استفاده از مولد‌های لیزری به عنوان یک روش غیرتیماسی برای تولید امواج لمب و تشخیص عیوب در ورق‌ها، تلاش شد تا با این روش یک امواج نک‌فرکانس با تمرکز بالا تولید شود.^[۱۸]

در این نوشتار ابتدا از امواج لمب برای موقعیت‌یابی عیوب بر روی ورق‌های نازک آلومینیوم استفاده خواهد شد. در مراحل این تشخیص ابتدا مد مناسب برای انجام آزمایشات تعیین، و سپس چندین نمونه ورق مورد آزمایش قرار می‌گیرند. در ادامه، به‌کمک امواج لمب به ارزیابی اتصالات چسبی در ورق‌های نازک خواهیم پرداخت. هدف از این ارزیابی تعیین کیفیت اتصالات چسبی و اندازه‌گیری عیوب در این اتصالات است.

نظریه

در صفحاتی که دو مرز آزاد دارند و در مقایسه با طول امواج فرماحتی نازک‌اند، مدهای مختلفی از امواج لمب یا امواج هدایت‌شونده — شامل مدهای متقارن (S_i) و مدهای نامتقارن (A_i) — ایجاد می‌شود. مدهای نامتقارن با انتشار امواج به شکل انقباض و انبساط متقارن در دو سطح صفحه، و مدهای نامتقارن مربوط به انتشار امواج به شکل خمی هستند.^[۱۹] اندیس α ، که مقدار آن صفر با عددی صحیح و مشتب است، مرتبه‌ی مده امواج لمب را نشان می‌دهد.

در ورقی با ابعاد و جنس معین، حالت‌های مختلف امواج که می‌توانند تولید شوند تابعی از ضخامت صفحه، فرکانس امواج و سرعت امواج در ورق هستند. سرعت امواج ورقی در ورق به حاصل ضرب ضخامت ورق در فرکانس وابسته است، در اصطلاح چنین امواجی را دیسپرسیو^۹ (ستفرق‌کننده) می‌نامند. به عبارت دیگر، به دلیل دیسپرسیو بودن امواج ورقی سرعت انتشار این امواج نه تنها به مشخصات جنس محیط انتشار، که به ضخامت محیط انتشار و فرکانس مده امواج نیز بستگی دارد.

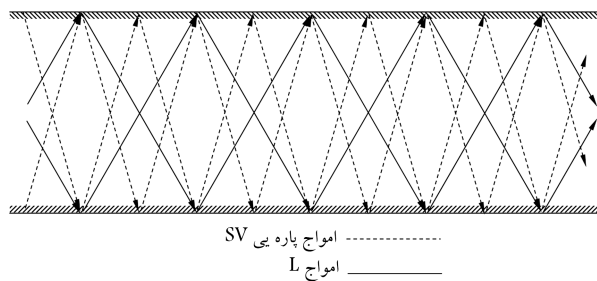
مدل ریاضی انتشار امواج ورقی

برای بررسی امواج ورقی (لمب)، یک مدل کرنش صفحه‌یی دو بعدی در نظر گرفته می‌شود که تشن روی سطوح بالا و پایین آن صفر است. حل دقیق این مسئله با استفاده از توابع پتانسیل جا به جایی قبل از انجام شده است.^[۱۶] برای محاسبه‌ی میدان جا به جایی می‌توان از روش تجزیه‌ی هلمهولتز که حاصل جمع دو پارامتر مربوط به امواج طولی و عرضی است، مطابق رابطه‌ی ۱ استفاده کرد:

$$\vec{u} = \nabla \phi + \nabla \times (\vec{\psi}), \quad \nabla \cdot (\vec{\psi}) = 0 \quad (1)$$

که در آن ϕ یک میدان پتانسیل اسکالر متناظر با امواج طولی، $\vec{\psi}$ یک میدان پتانسیل برداری متناظر با امواج عرضی، و \vec{u} بردار تغییر مکان ذره است. با توجه به فرض مدل کرنش صفحه‌یی، جا به جایی در راستای y صفر خواهد بود. با لحاظ کردن این شرایط، مؤلفه‌های تغییر مکان عبارت خواهند بود از:

$$u_x = u = \frac{\partial \phi}{\partial x} + \frac{\partial \psi}{\partial z}, \quad u_y = v = 0, \quad u_z = w = \frac{\partial \phi}{\partial z} - \frac{\partial \psi}{\partial x} \quad (2)$$



شکل ۳. چگونگی ایجاد امواج ورقی (لمب) در ورق. [۱۶]

به یکدیگر، حالتی از تشدید در ورق رخ می‌دهد که باعث تولید موج لمب می‌شود (شکل ۳).

در این تحقیق با استفاده از این پدیده و توسط یک پروب تماسی زاویه متغیر موج لمب در ورق تولید شده است. تجهیزات مورد استفاده برای انجام آزمایشات عبارت اند از:

- فرستنده و گیرنده فرacoتوی: یکی از تجهیزاتی که در انجام آزمون‌های فرacoتوی مورد استفاده قرار می‌گیرد، فرستنده و گیرنده فرacoتوی است. محدوده فرکانسی این دستگاه kHz-۳۵ MHz است. نقش قسمت فرستنده دستگاه، تولید سیگنال ولتاژ سیار باریک و نیزه‌بی‌شکل ۱ به منظور تحریک پروب است. با تحریک پروب و تولید موج فرacoتوی و ارسال آن به داخل قطعه، قسمتی از موج به پروب بازمی‌گردد. ولتاژ تولید شده توسط کریستال پیروالکتریک پروب، که بر اثر برخورد موج بازگشتی به آن حاصل می‌شود، توسط قسمت گیرنده دستگاه دریافت و تقویت می‌شود. از مهم‌ترین مشخصات این دستگاه علاوه بر پاند فرکانسی نسبتاً وسیع، ورودی تحریک خارجی آن است. این دستگاه دارای فرکانس تحریک Hz ۵۰۰۰-۱۰۰۰ است.

- کارت تبدیل آنالوگ به دیجیتال (A/D): به منظور ذخیره‌سازی و پردازش دیجیتالی سیگنال‌های فرacoتوی ابزاری مورد نیاز است که بتواند سیگنال‌های آنالوگ را به سیگنال‌های دیجیتال تبدیل کند. دستگاه انجام آزمون شامل یک کارت A/D برای تبدیل سیگنال‌های آنالوگ به دیجیتال است. این کارت شامل دو کانال ورودی آنالوگ و یک ورودی تحریک خارجی است. بیشینه فرکانس نمونه‌برداری این کارت ۱۰۰ MSample/s و قابلیت تکمیل‌پذیری آن ۱۴ bit است. برای کنترل و استفاده از این کارت به وسیله‌ی رایانه، از نرم‌افزار خاصی استفاده شده است.

پروب زاویه متغیر تماسی با فرکانس ۲ MHz.

زاویه‌ی مناسب برای تولید موج ورقی (لمب) به کمک قانون استنل و با در نظر گرفتن سرعت فاز موج لمب به دست می‌آید:

$$\frac{\sin \theta_i}{c_{Plexi}} = \frac{\sin 90}{c_p} \Rightarrow \sin \theta_i = \frac{c_{Plexi}}{c_p} \quad (10)$$

که در آن θ_i زاویه‌ی موج ثابتی، c_{Plexi} سرعت موج در پروب و c_p سرعت فاز موج در قطعه است. منحنی زاویه‌ی بحرانی (زاویه‌ی مناسب برای تولید موج لمب) بر حسب حاصل ضرب فرکانس در ضخامت در شکل ۴ دیده می‌شود.

در انجام آزمایش با توجه به سازوکار تنظیم زاویه‌ی پروب، تنظیم دقیق زاویه بر روی پروب امکان‌پذیر نبود. درنتیجه برای تعیین زاویه‌ی مناسب از شیوه‌ی کاربردی استفاده شد. بدین‌منظور پروب را بر روی ورق قرار داده و زاویه را در محدوده‌ی قرار می‌دهیم که با منحنی‌های پاشش متناسب است و سپس آن را جابه‌جا می‌کنیم تا

- تعیین محدوده‌ی مطلوب fd و c_p برای رسم منحنی پاشش؛
- تقسیم‌بندی این محدوده‌ها به قسمت‌های مساوی و دلخواه با اندازه‌ی ثابت (هرچه تعداد تقسیمات بیشتر شود دقت بالاتر خواهد بود)؛

- در نظر گرفتن کم‌ترین مقدار (fd) ؛
- در نظر گرفتن کم‌ترین مقدار (c_p) ؛

- قرار دادن مقادیر fd و c_p در معادلات ۶ و ۷، تعیین علامت (مشبی یا منفی بودن) جواب حاصل از معادلات؛

- قرار دادن مقدار بعدی c_p در معادله و تعیین علامت (مشبی یا منفی بودن) جواب حاصل از معادلات؛

- ادامه دادن مراحل ۵ و ۶ تا اتمام مقادیر c_p (بین هر دو مقدار c_p که معادلات تغییر علامت دادند، یک ریشه قرار خواهد داشت)؛

- در نظر گرفتن مقدار بعدی fd و بازگشت مجدد به مرحله ۴.
- مراحل فوق زمانی اتمام می‌یابند که تمام مقادیر fd در معادله جاگذاری شوند. با توجه به معادله ۹، که بیان‌گر رابطه‌ی سرعت گروه و سرعت فاز است، منحنی‌های پاشش را بر حسب سرعت گروه نیز می‌توان رسم کرد (شکل ۲).

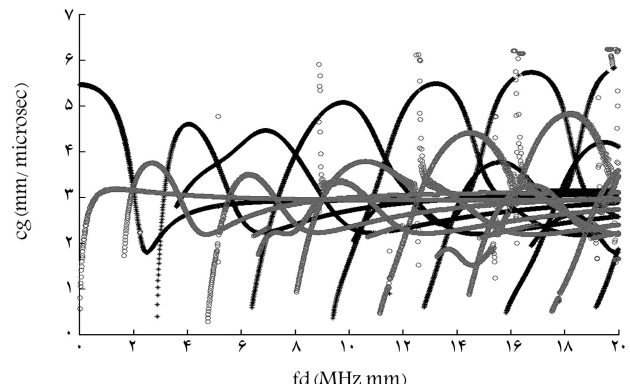
$$c_g = c_p \left[c_p - \left(fd \right) \frac{dc_p}{d(fd)} \right]^{-1} \quad (9)$$

برای رسم منحنی پاشش به کمک شیوه‌ی ارائه شده فقط و فقط باید از معادلات ۶، ۷ و ۸ استفاده کرد و اعداد را در شکل کنونی این معادلات جایگزین کرد. در غیر این صورت نقاط به دست آمده برای منحنی نامناسب بوده و شکل منحنی دگرگون خواهد شد.

بعد از رسم منحنی‌های پاشش، نقاطی اضافی در آن‌ها دیده می‌شود که در یک ویژگی مشترک‌اند و آن، صدق کردن در معادلات ۶ و ۷ — معادلات مربوط به مدهای متقارن و نامتقارن — است. با وجود این خصوصیت این نقاط به راحتی قابل حذف‌اند. منحنی‌های پاشش با حذف نقاط مذکور ارائه شده‌اند.

تولید موج ورقی

یکی از روش‌های تولید موج ورقی (لمب) تابش موج طولی با زاویه‌ی معین به سطح ورق است. با تابش موج طولی در زوایای معین و تبدیل امواج طولی و عرضی



شکل ۲. منحنی‌های پاشش سرعت گروه موج لمب بر حسب فرکانس بی بعد در ورق آلومینیوم.

جدول ۱. نتایج آزمایشات مربوط به اندازه‌گیری سرعت گروه در ورق‌های آلومینیوم.

درصد خطای	سرعت گروه (نظری) (m/s)	سرعت گروه (تجربی) (m/s)	مدّ موج	ضخامت (mm)
۰,۳	۵۲۹۵	۵۲۷۵	S_{\circ}	۰,۴
-	۳۱۰۱	-	A_{\circ}	
۱,۰	۵۱۸۰	۵۲۳۲	S_{\circ}	۰,۵
-	۳۱۵۲	-	A_{\circ}	
۷,۱	۴۷۷۲	۴۴۳۰	S_{\circ}	۰,۷
-	۳۱۷۶	-	A_{\circ}	
-	۳۱۵۷	مبهمن	S_{\circ}	۱
-	۳۱۵۵	-	A_{\circ}	
-	۳۲۴۵	مبهمن	A_1	۲
-	۲۶۲۸	مبهمن	S_{\circ}	
-	۳۰۴۳	مبهمن	A_{\circ}	
-	۴۵۹۶	مبهمن	S_1	
-	۲۶۰۸	مبهمن	A_1	
-	۳۱۹۰	مبهمن	S_2	

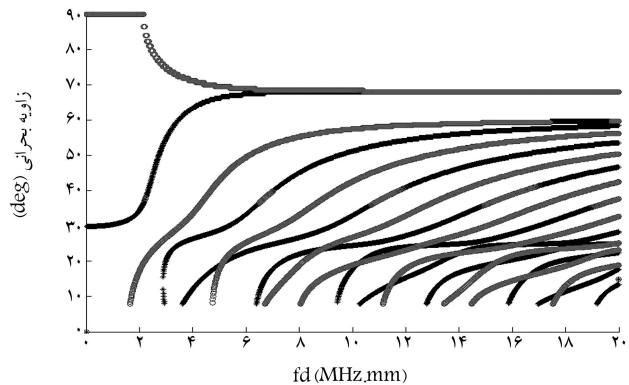
که در این حالت سرعت موج طولی در کفشه بیشتر از سرعت فاز موج لمب در ورق است و سینوس زاویه بحرانی بیشتر از ۱ خواهد شد. به عبارت دیگر در این حالت زاویه بحرانی وجود نخواهد داشت. این مسئله برای مدد A_{\circ} در ورق آلومینیوم با ضخامت ۱ میلی‌متر نیز صادق است. چنان‌که در جدول ۱ مشاهده می‌شود، سرعت گروه مدهای A_1 و S_{\circ} در این ضخامت مبهمن است. به بیان دیگر، به دست آوردن این مقادیر از طریق انجام آزمایشات ممکن نیست. علت این امر تداخل سیگنال‌های مربوط به این دو مدد است.

سرعت گروه برای مدد S_{\circ} برابر ۳۱۵۷ متر بر ثانیه و برای مدد A_1 برابر ۳۲۴۵ متر بر ثانیه است (جدول ۱). از آنجاکه پروب یک طیف فریکانسی و همچنین یک طیف زاویه‌ی تابش دارد، موج تنها با یک زاویه‌ی معین تابیده نمی‌شود. در واقع هر دو مدد به صورت هم‌زمان تولید می‌شوند. نزدیک بودن سرعت دو مدد کم بودن مسافتی که موج می‌پیماید، سبب تداخل سیگنال‌های مربوط به این دو مدد شده و نمی‌توان اطلاعاتی از سیگنال استخراج کرد.

این مسئله در مرور ورق آلومینیوم با ضخامت ۲ میلی‌متر تشید می‌شود چرا که می‌توان گفت حداقل ۴ مدد به طور همزمان ایجاد می‌شوند. واضح است که چنین امری ممکن بودن سیگنال دریافتی را دوچندان می‌کند. درنتیجه متابعت‌ترین مدد برای انجام آزمون بر روی ورق آلومینیوم بهمک امواج ورقی (لمب)، مدد S_{\circ} است.^[۱۶]

ساخت نمونه

برای تعیین کیفیت اتصالات چسبی نمونه‌هایی از اتصالات ساخته شد. این نمونه‌ها از دو ورق آلومینیوم با ضخامت ۴ میلی‌متر ساخته شده‌اند؛ این دو ورق بهمک چسب دوقلو به صورت لبه‌های روی هم افتاده به یکدیگر متصل می‌شوند (شکل ۵).



شکل ۴. منحنی پاشش زاویه بحرانی لمب بر حسب فرکانس بی بعد در ورق آلومینیوم.

دامنه‌ی سیگنال بیشینه شود. جایی که دامنه‌ی سیگنال بیشینه باشد موج لمب تولید شده است.

اندازه‌گیری سرعت موج ورقی (لمب) در ورق

برای اندازه‌گیری سرعت به دو پارامتر مسافت و زمان نیاز است. اندازه‌گیری سرعت موج لمب در ورق نیز از این امر مستثنی نیست. برای اندازه‌گیری مسافتی که موج در ورق طی می‌کند، ابتدا لازم است محل دقیق شاخص پروب مشخص شود. از طرفی در پروب زاویه مغایر محل شاخص (نقطه‌ی خروج موج از پروب) با تغییر زاویه عوض می‌شود. تعیین محل شاخص در هر زاویه بهمک قطعات مرتع امکان‌پذیر است اما مشخص کردن آن بر روی پروب به تجهیزات اضافی (نظری یک صفحه‌ی مدرج) نیاز دارد. ساختار پیچیده‌ی پروب زاویه مغایر و عبور موج از چند لایه با جنس‌های متفاوت پیش از ورود به قطعه باعث می‌شود تا مسافت دقیق طی شده توسط موج از بد و خروج از کریستال پیزوالکتریک پروب به سادگی قابل محاسبه نباشد. برای حل این مشکل از اختلاف زمان و اختلاف مسافت در دو موقعیت مختلف استفاده شد. ابتدا پروب در فاصله‌ی معینی از لبه‌ی ورق قرار داده شد و زمان بهمک سیگنال دریافتی ثبت شد. سپس پروب را در موقعیت دیگری — متفاوت از موقعیت اول — گذاشت و مجددآ زمان ثبت شد. با توجه به در اختیار داشتن دو موقعیت و دو زمان، و با استفاده از اختلاف این دو زمان و این دو موقعیت، سرعت موج در ورق با استفاده از معادله‌ی (۱) (بدون داشتن محدودیت‌های فوق) قابل محاسبه بود. یادآور می‌شود که به هنگام استفاده از اختلاف موقعیت (مسافت)، دانستن محل دقیق شاخص ضروری نیست و فقط کافی است اختلاف موقعیت پروب در دو حالت نسبت به یک سطح مرجع گزارش شود. سرعت اندازه‌گیری شده با این روش، سرعت گروه موج لمب در ورق است.^[۱۷]

این آزمایش بر روی ورق‌های آلومینیوم با ضخامت‌های مختلف انجام، و نتایج حاصله در جدول ۱ ارائه شد. چنان‌که مشاهده می‌شود، در ورق‌های با ضخامت ۰,۴، ۰,۵ و ۰,۷ میلی‌متر مدد A_{\circ} تولید نشده تا بتوان سرعت گروه مربوط به آن را اندازه‌گیری کرد. در حقیقت مدد A_{\circ} در این ضخامت‌ها قابل تولید نیست.

با توجه به معادله‌ی (۱) که مربوط به محاسبه‌ی زاویه بحرانی (زاویه تابش موج) برای تولید موج لمب دلخواه است، برای مدد A_{\circ} این زاویه وجود ندارد، چرا

طرفی برای دست یابی به نتایج دقیق باید دو پروب کاملاً هم راستا باشند، در غیر این صورت دامنه‌ی سیگنال دریافتی کاهش می‌باید یا محو می‌شود. در چنین حالتی سیگنال‌های دریافتی قابل تفسیر نخواهند بود.

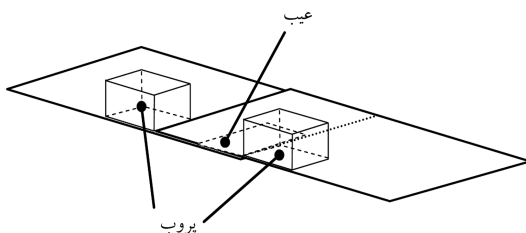
با ثابت نگه داشتن موقعیت پروب‌ها نسبت به اتصال چسبی، آن‌ها را در راستای عرض ورق جایه‌جا می‌کنیم تا موج از محل بدون عیب اتصال چسبی نیز عبور کند (شکل ۹).

ابتدا مطابق شکل ۹ موج از محل بدون عیب عبور داده شد که سیگنال دریافتی آن در شکل ۱۰ نشان داده شده است. ازین سیگنال به عنوان سیگنال مرجع اتصال بی‌عیب برای مقایسه با سیگنال اتصالات معیوب استفاده می‌شود. در شکل‌های ۱۱ تا ۱۴ سیگنال‌های دریافتی از اتصالات معیوب مربوط به نمونه اول تا نمونه چهارم (به ترتیب) دیده می‌شوند.

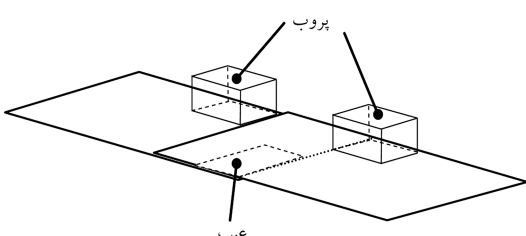
هدف از انجام این آزمایشات تعیین کیفیت اتصالات چسبی است. بعد از برقراری اتصال امکان دسترسی و رؤیت محل اتصال وجود ندارد. از سوی دیگر، شایع‌ترین نقص در اتصالات چسبی عدم برقراری اتصال بین چسب و قطعات در نقاط مختلف اتصال است. هرچه این جدایش بیشتر باشد اتصال ضعیف‌تر و کیفیت آن نامطلوب‌تر خواهد بود.

در تعیین کیفیت اتصالات، راستای جدایش نسبت به حجم جدایش کم اهمیت‌تر است و درنتیجه، در اینجا هرچه حجم جدایش بیشتر باشد کیفیت اتصال چسبی ضعیف‌تر خواهد بود. در سه نمونه اول ابعاد عیب (جدایش) در یک راستا افزایش یافته، اما در نمونه‌ی چهارم در عین افزایش اندازه‌ی عیب جهت این افزایش نیز تغییر یافته است.

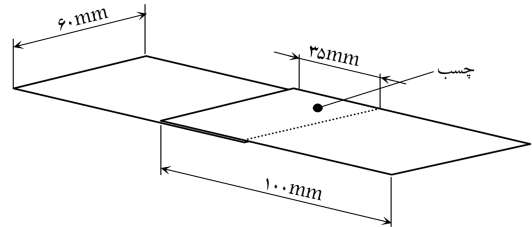
چنان‌که در شکل‌های ۱۱ تا ۱۴ دیده می‌شود، با بزرگ‌تر شدن اندازه‌ی عیب (حجم عیب) از نمونه اول تا چهارم، به ترتیب دامنه‌ی سیگنال‌های دریافتی کاهش یافته است. رابطه‌ی بین دامنه‌ی سیگنال دریافتی و اندازه‌ی عیب در شکل ۱۵ نشان داده شده است. این شکل نشان می‌دهد که رابطه‌ی معینی بین اندازه‌ی عیب و دامنه‌ی موج لمب وجود دارد. به عبارت دیگر می‌توان گفت که از مقایسه‌ی دامنه‌ی سیگنال دریافتی با دامنه‌ی سیگنال مرجع (نمونه سالم)، طبق‌بندی نمونه‌ها از منظر کیفیت اتصال امکان‌پذیر خواهد شد.



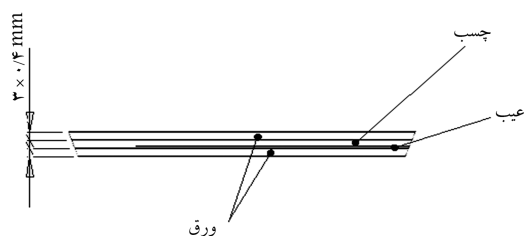
شکل ۸. موقعیت پروب‌ها هنگام انجام آزمون محل معیوب اتصال چسبی.



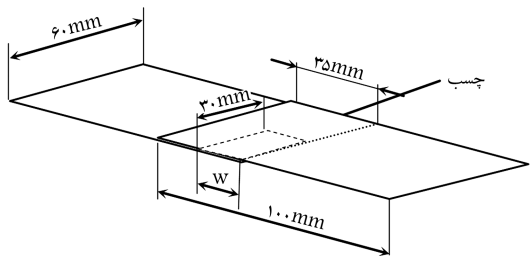
شکل ۹. موقعیت پروب‌ها هنگام انجام آزمون محل سالم اتصال چسبی.



شکل ۵. شکل کلی نمونه.



شکل ۶. محل اتصال دو ورق، با وجود عیب (دید از کنار).



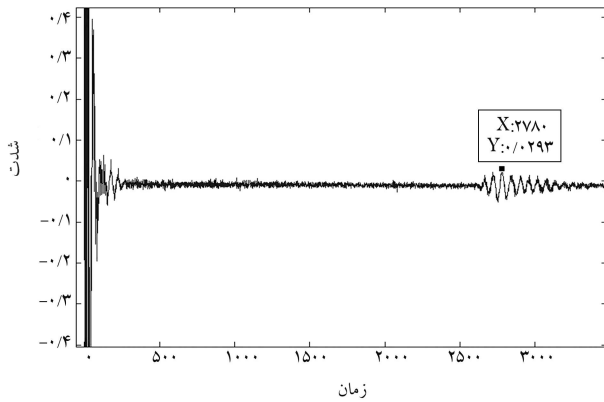
شکل ۷. نمونه با عیوبی به عرض W.

در یکی از این نمونه‌ها در بخشی از اتصال و بر روی یکی از ورق‌ها قبل از اعمال چسب دو قلو، تکه‌یی کاغذ به‌کمک چسب نواری قرار داده شد تا مطمئن باشیم در این قسمت چسب دو قلو به ورق متصل نشده و عملایک عیب در این اتصال به وجود می‌آید. در ضمن برای اطمینان از یکسانی از عناوون بودن ضخامت چسب در نمونه‌های مختلف، از قطعات ورق با ضخامت ۰,۴ میلی‌متر به عنوان فاصله‌دهنده استفاده شد تا ضخامت چسب معادل ۰,۴ میلی‌متر ثابت بماند. در شکل ۶ ابعاد قطعه و اتصال و جزئیات بیشتری از چسب، عیب و ورق نشان داده شده است.

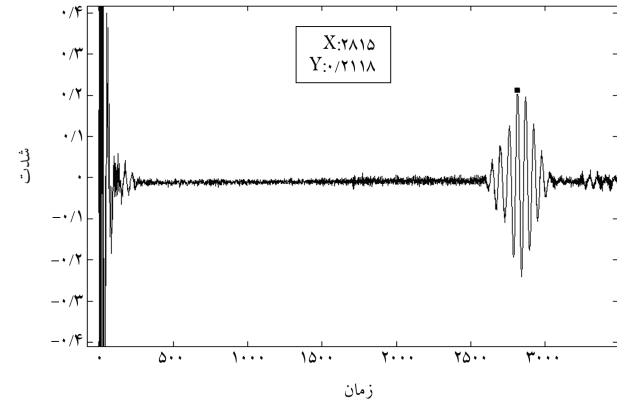
تفاوت نمونه‌ها در ابعاد و اندازه‌ی عیب آن‌هاست، که در شکل ۷ عرض عیب با W مشخص شده است. در نمونه اول تا سوم، اندازه‌ی W به ترتیب ۱۰، ۱۵ و ۲۰ میلی‌متر است و در نمونه‌ی چهارم ضخامت عیب نسبت به نمونه سوم دو برابر شده است.

انجام آزمایش

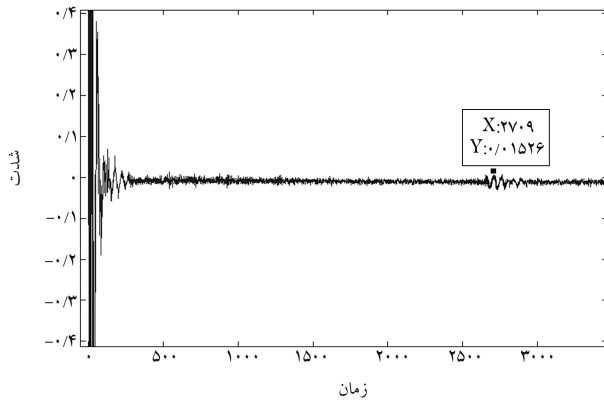
برای بررسی اتصالات از دو پروب زاویه متغیر استفاده شد. زاویه‌ی پروب‌ها به‌گونه‌یی تنظیم شدند که در آن، موج لمب تولید شود. لازم به ذکر است که دقیقاً در همان زاویه‌یی که موج لمب تولید می‌شود، این موج قابل دریافت است. هر پروب روی یکی از ورق‌ها قرار گرفت، به‌طوری که یک پروب نقش فرستنده و دیگری نقش گیرنده را ایفا کند. موقعیت پروب‌ها به‌گونه‌یی انتخاب شد که موج ارسالی از اتصال چسبی عبور کرده و در سوی دیگر دریافت شود (شکل ۸). از



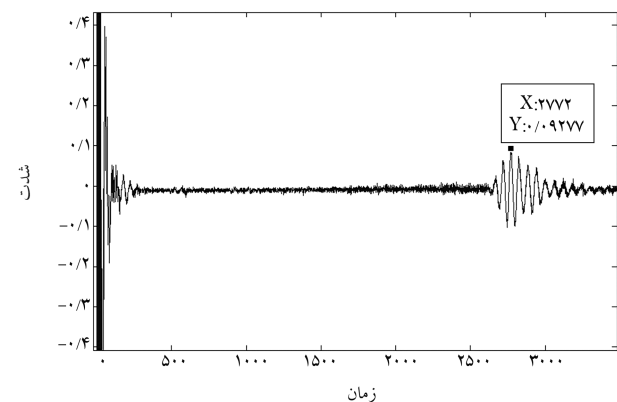
شکل ۱۳. سیگنال دریافتی از نمونه ۳، با عیوب به طول ۲۰ میلی متر.



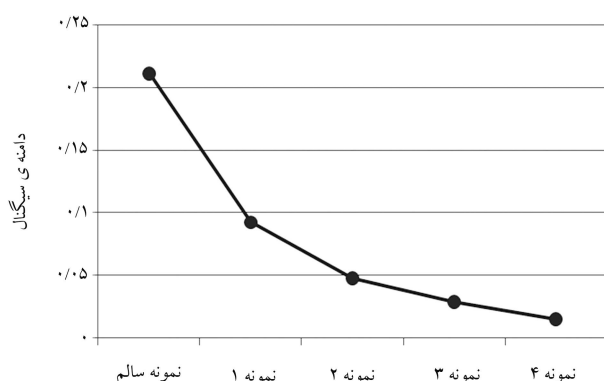
شکل ۱۵. سیگنال دریافت شده از اتصال چسبی سالم.



شکل ۱۴. سیگنال دریافتی از نمونه ۴، با عیوب به طول ۲۰ میلی متر و ضخامت دو برابر عیوب دیگر.



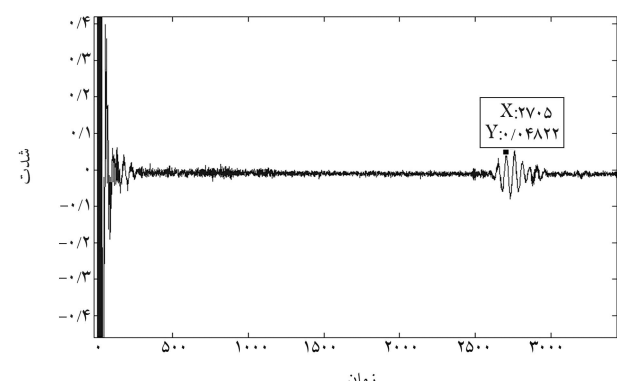
شکل ۱۱. سیگنال دریافتی از نمونه ۱، با عیوب به طول ۱۰ میلی متر.



شکل ۱۵. منحنی رابطه ابعاد عیوب با دامنه‌ی سیگنال موج فرماحتی.

عبور موج لمب از اتصال چسبی سیگنالی دریافت می‌شود که بیشینه دامنه آن با ابعاد عیوب رابطه‌ی معکوس دارد. به بیان دیگر، بزرگ شدن عیوب به کاهش دامنه می‌انجامد. با مقایسه‌ی دامنه‌ی سیگنال دریافتی از عیوب با سیگنال دریافتی از اتصال سالم (سیگنال مرجع) می‌توان کیفیت اتصالات را ارزیابی کرد.

- هم راستا بودن موقعیت دو پروف نسبت به یکدیگر از اهمیت بالایی برخوردار است. اگر کمی موقعیت دو پروف نسبت به یکدیگر نامناسب باشد، سیگنال دریافتی غیرقابل قضاوت خواهد بود. استفاده از یک سازوکار نگه‌دارنده بین دو پروف می‌تواند این مشکل را به خوبی حل کند.



شکل ۱۶. سیگنال دریافتی از نمونه ۲، با عیوب به طول ۱۵ میلی متر.

نتیجه‌گیری

با توجه به مطالعات و آزمایشات انجام‌گرفته با استفاده از امواج لمب می‌توان گفت:

- بهترین حالت برای آزمایش اتصالات چسبی در ورق‌های آلومینیومی، (به‌کمک امواج لمب و در حالت تماسی)، استفاده از محدوده‌ی ابتدایی منحنی پاشش است که فقط نک مدد S در آن تولید می‌شود. این امر با یافته‌های دیگر محققین مطابقت دارد.^[۱۴]

- کنترل کیفیت اتصالات چسبی در ورق‌ها (اتصالات با لبه‌های روی هم)، از نظر وجود عیوب یا عدم جدایش بین چسب و ورق، به‌کمک امواج لمب مقدور است. با

پابلوشت

1. plate waves
2. Lamb waves
3. Defense & evaluation research agency
4. Cawley
5. electromagnetic acoustic transducer
6. tone burst
7. Shizuoka
8. lap joint
9. dispersive
10. spike

منابع

1. Worlton, D.C. "Experimental confirmation of Lamb waves at megacycle frequencies", *Journal of Applied Physics*, **32**, pp. 967-971 (1961).
2. Mindlin, R.D., *Waves and Vibrations in Isotropic Elastic Plates*, in Structural Mechanics, Goodier J.N. and Hoff N.J. (eds), Pergamon Press, New York (1960).
3. Saravanos, D.A. and Heyliger, P.R. "Coupled layer-wise analysis of composite beams with embedded piezoelectric sensors and actuators", *Journal of Intelligent Material Systems and Structures*, **6**, pp. 350-362 (1995).
4. Saravanos, D.A.; Birman, V. and Hopkins, D.A. "Detection of delaminations in composite beams using piezoelectric sensors", *Proceedings of the 35th Structures, Structural Dynamics and Materials Conference of the AIAA* (1994).
5. Percival, W.J. and Birt, E.A. "A study of Lamb wave propagation in carbon-fibre composites", *Insight: Non-Destructive Testing and Condition Monitoring*, **39**, pp. 728-735 (1997).
6. Monkhouse, R.S.C.; Wilcox, P.D. and Cawley, P. "Flexible interdigital PVDF transducers for the generation of Lamb waves in structures", *Ultrasonics*, **35**, pp. 489-498 (1997).
7. Monkhouse, R.S.C.; Wilcox, P.W.; Lowe, M.J.S.; Dalton, R.P. and Cawley, P. "The rapid monitoring of structures using interdigital Lamb wave transducers", *Smart Materials and Structures*, **9**, pp. 304-309 (2000).
8. Kessler, S.S.; Spearing, S.M.; Atalla, M.J.; Cesnik, C.E.S. and Soutis, C. "Structural health monitoring in composite materials using frequency response methods", *Proceedings of the SPIE International Symposium on Smart Structures and Materials* (2001).
9. Dixon, S.; Edwards, C. and Palmer, S.B. "A laser-EMAT system for ultrasonic weld inspection", *Ultrasonics*, **37**, pp. 273-281 (1999).
10. Jeong, H.D.; Shin, H.J. and Rose, J.L. "Detection of defects in a thin steel plate using ultrasonic guided wave", *Proceedings of the 15th WCNDT*, Roma, Italy, pp. 15-21 (October 2000).
11. Hayashi, Y.; Ogawa, S.; Cho, H. and Takemoto, M. "Non-contact estimation of thickness and elastic properties of metallic foils by the wavelet transform of laser-generated Lamb waves", *NDT&E International*, **32**, pp. 21-27 (1999).
12. Gao, W.; Glorieux, C. and Thoen, J. "Laser ultrasonic of Lamb waves: Determination of the thickness and velocities of a thin plate", *International Journal of Engineering Science*, **41**, pp. 219-228 (2003).
13. Hayashi, T. and Kawashima, K. "Single mode extraction from multiple modes of Lamb wave and its application to defect detection", *JSME International, Series A*, **46**(4), pp. 620-626 (2003).
14. Santos, M. and Perdigao, J. "Leaky Lamb waves for the detection and sizing of defects in bonded aluminum lap joints", *NDT&E International*, **38**, pp. 561-568 (2005).
15. Jhang, K.Y.; Shin, M.J. and Lim, B. "Application of the laser generated focused-Lamb wave for non-contact imaging of defects in plates", *Ultrasonics*, **44**, pp. e1265-e1268 (2006).
16. Rose, J.L., *Ultrasonic Waves in Solid Media*, Cambridge University Press (1999).

